

# J-PARC K1.8BR ビームラインスペクトロメータの性能評価

- K1.8BRビームライン
- K1.8BRビームラインスペクトロメータ
- TOF測定との比較による評価

東大理 橋本直

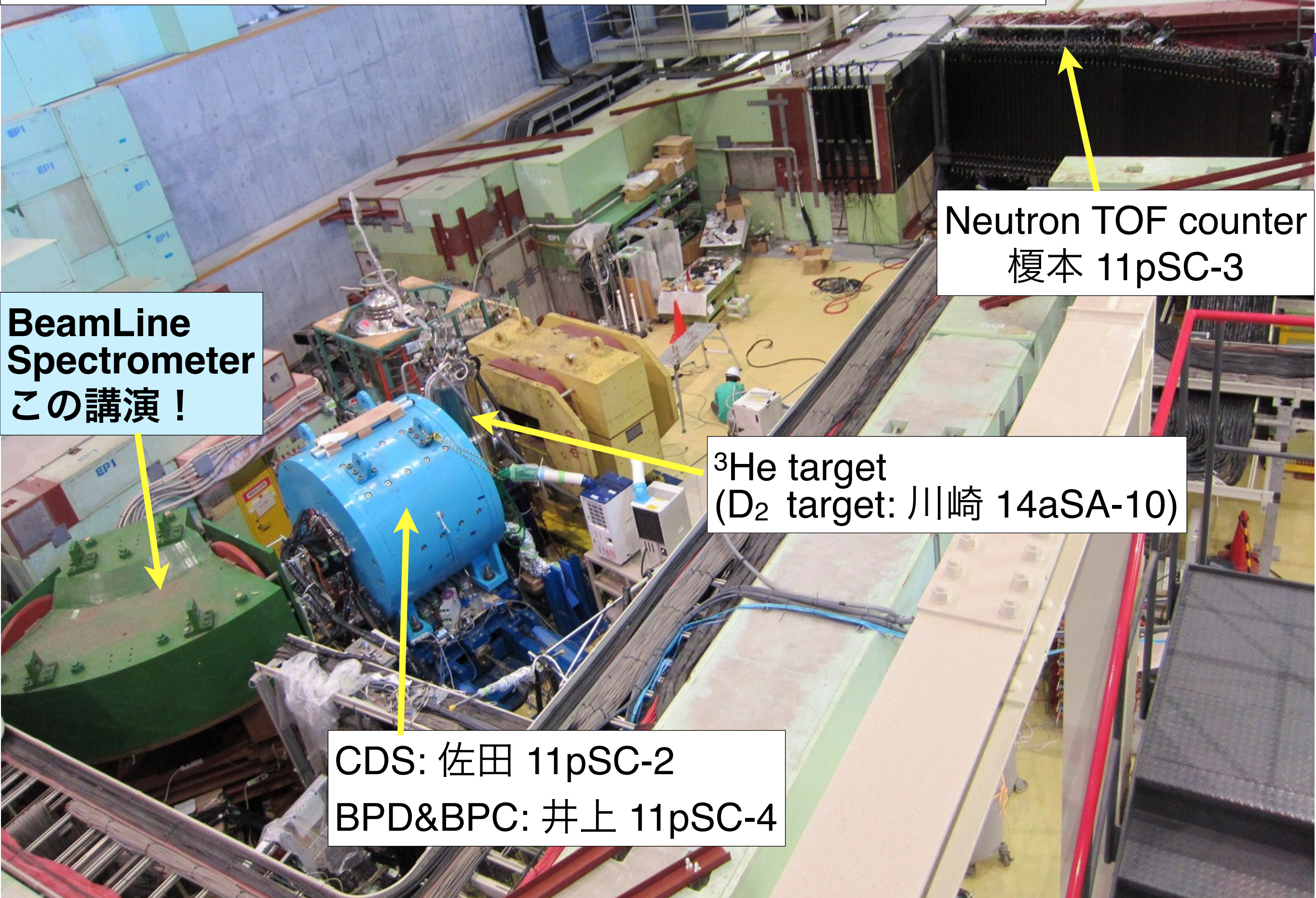
for J-PARC E15/E17/E31 collaboration

# J-PARC E15/E17/E31 collaboration

橋本直, 石川隆, 佐藤将春, 鈴木隆敏, 施赫シ, 早野龍五, 藤原裕也, 山崎敏光<sup>A</sup>,  
板橋健太<sup>A</sup>, 岩崎雅彦<sup>A, F</sup>, 應田治彦<sup>A</sup>, 大西宏明<sup>A</sup>, 岡田信二<sup>A</sup>, 佐久間史典<sup>A</sup>,  
友野大<sup>A</sup>, Y. Ma<sup>A</sup>, 飯尾雅実<sup>B</sup>, 石元茂<sup>B</sup>, 岩井正明<sup>B</sup>, 鈴木祥仁<sup>B</sup>, 関本美知子<sup>B</sup>,  
豊田晃久<sup>B</sup>, 石黒洋輔<sup>C</sup>, 佐田優太<sup>C</sup>, 永江知文<sup>C</sup>, 平岩聰彦<sup>C</sup>, 藤岡宏之<sup>C</sup>,  
松田恭幸<sup>D</sup>, 味村周平<sup>E</sup>, 井上謙太郎<sup>E</sup>, 榎本瞬<sup>E</sup>, 川崎信吾<sup>E</sup>, 野海博之<sup>E</sup>,  
康寛史<sup>F</sup>, 德田真<sup>F</sup>, 塚田曉<sup>G</sup>, 阪口篤志<sup>H</sup>, 福田共和<sup>I</sup>, 溝井浩<sup>I</sup>, 谷田聖<sup>J</sup>,  
H. Bhang<sup>J</sup>, S. Choi<sup>J</sup>, 石渡智一<sup>K</sup>, 鈴木謙<sup>K</sup>, P. Buehler<sup>K</sup>, M. Cargnelli<sup>K</sup>,  
J. Marton<sup>K</sup>, E. Widmann<sup>K</sup>, B. Wunschek<sup>K</sup>, J. Zmeskal<sup>K</sup>, P. Kienle<sup>L</sup>, 竜野秀行<sup>M</sup>,  
M. Bragadireanu<sup>M</sup>, C. Curceanu<sup>M</sup>, C. Guaraldo<sup>M</sup>, M. Iliescu<sup>M</sup>, K. Piscicchia<sup>M</sup>,  
M. Poli Lener<sup>M</sup>, A. Scordo<sup>M</sup>, A. Romero Vidal<sup>M</sup>, D. Sirghi<sup>M</sup>, F. Sirghi<sup>M</sup>,  
O. Vazquez Doce<sup>M</sup>, G. Beer<sup>N</sup>, L. Busso<sup>O, P</sup>, D. Faso<sup>O, P</sup>, O. Morra<sup>O</sup>, H. Yim<sup>Q</sup>

東大理, 理研<sup>A</sup>, KEK<sup>B</sup>, 京大理<sup>C</sup>, 東大教養<sup>D</sup>, 阪大 RCNP<sup>E</sup>, 東工大<sup>F</sup>, 東北理<sup>G</sup>,  
阪大理<sup>H</sup>, 大阪電通大<sup>I</sup>, ソウル国立大<sup>J</sup>, SMI<sup>K</sup>, ミュンヘン工大<sup>L</sup>, INFN-LNF<sup>M</sup>,  
Victoria 大<sup>N</sup>, Torino 大<sup>O</sup>, INFN-Torino<sup>P</sup>, KIRAMS<sup>Q</sup>

# K1.8BR @ J-PARC ハドロンホール

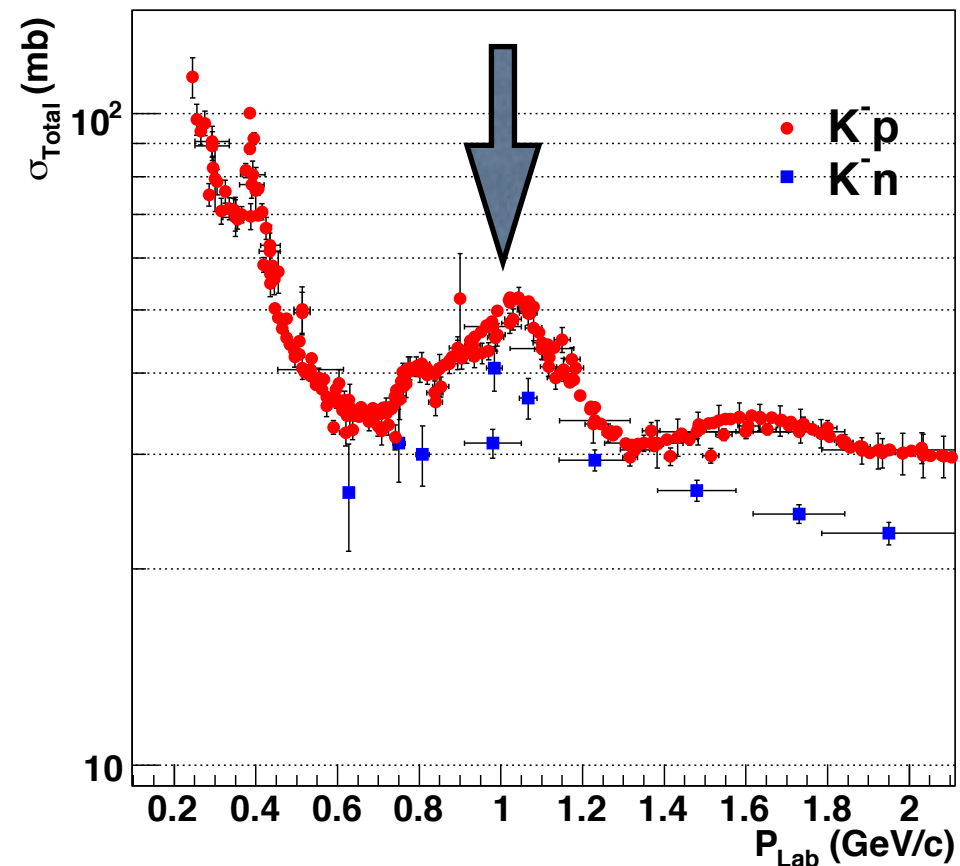


# J-PARC K1.8BRにおける実験

閾値近辺でのKN(K-nucleus)相互作用に関する実験

0.9/1.0 GeV/c のK-ビームを使用

- E15: Search for deeply bound kaonic nuclei
  - 1.0 GeV/c K- beam
  - ${}^3\text{He}(K^-, n) K^-pp$ ,  $K^-pp \rightarrow \Lambda p$
- E17: Kaonic helium atom X-ray
  - 0.9 GeV/c K- beam
  - stop K- on  ${}^3\text{He}/{}^4\text{He}$
- E31: Spectroscopic study of  $\Lambda(1405)$ 
  - 1.0 GeV/c K- beam
  - $d(K^-, n) \Lambda(1405)$ ,  $\Lambda(1405) \rightarrow \Sigma\pi$



# ビームスペクトロメータへの要求

- E15/E31
  - Missing Mass分解能は主に前方TOF分解能が決める。
  - ビーム運動量分解能は0.3%@1GeV/c程度で十分
  - 絶対値は最終的に反応を用いて決定
- E17
  - Kビームを止めるためにビーム運動量の絶対値を知りたい。
  - ${}^3\text{He}$ 標的( $1 \text{ g/cm}^2$ )に止められる運動量幅は  $\pm 0.3\%$ 程度 @ 900 MeV/c

	${}^3\text{He}(K^-, n)K^-pp$	${}^3\text{He}(K^-, p)K^-pn$	${}^3\text{He}(K^-, d)\Lambda^*$
散乱粒子運動量	1.3 GeV/c	1.3 GeV/c	1.6 GeV/c
TOF分解能	150ps?	100ps?	100ps?
運動量分解能	9 MeV/c	6 MeV/c	4 MeV/c
MissingMass分解能	9 MeV/c	6 MeV/c	5 MeV/c

前方散乱粒子の分解能のみを考慮

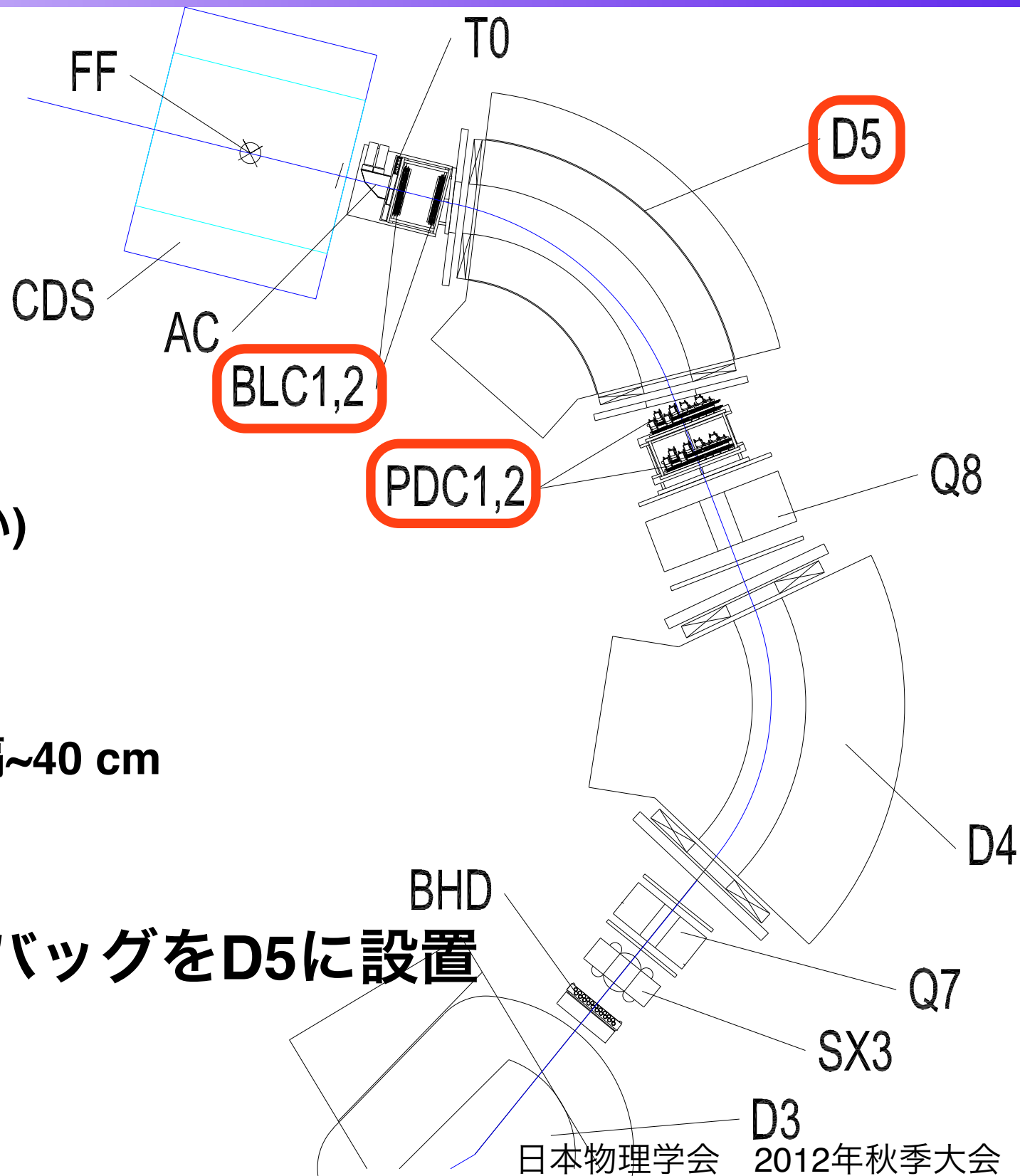
# ビームラインスペクトロメータ

- D5電磁石

- 磁場 ~1.63 T @ 1 GeV/c  
常にモニター  
(Lakeshore 475, 分解能0.1G)
- bending angle 55 degrees
- 有効長 1959 mm (実測値ではない)

- D5前後にMWDCを設置

- UU'VV'UU'VV'( $\pm 45$  deg)  $\times 2$ , 間隔~40 cm
- typical resolution ~ 200  $\mu$ m
- 散乱を減らすためヘリウムバッグをD5に設置
- 38um Mylar window+He(2.2m)



# 予想される性能

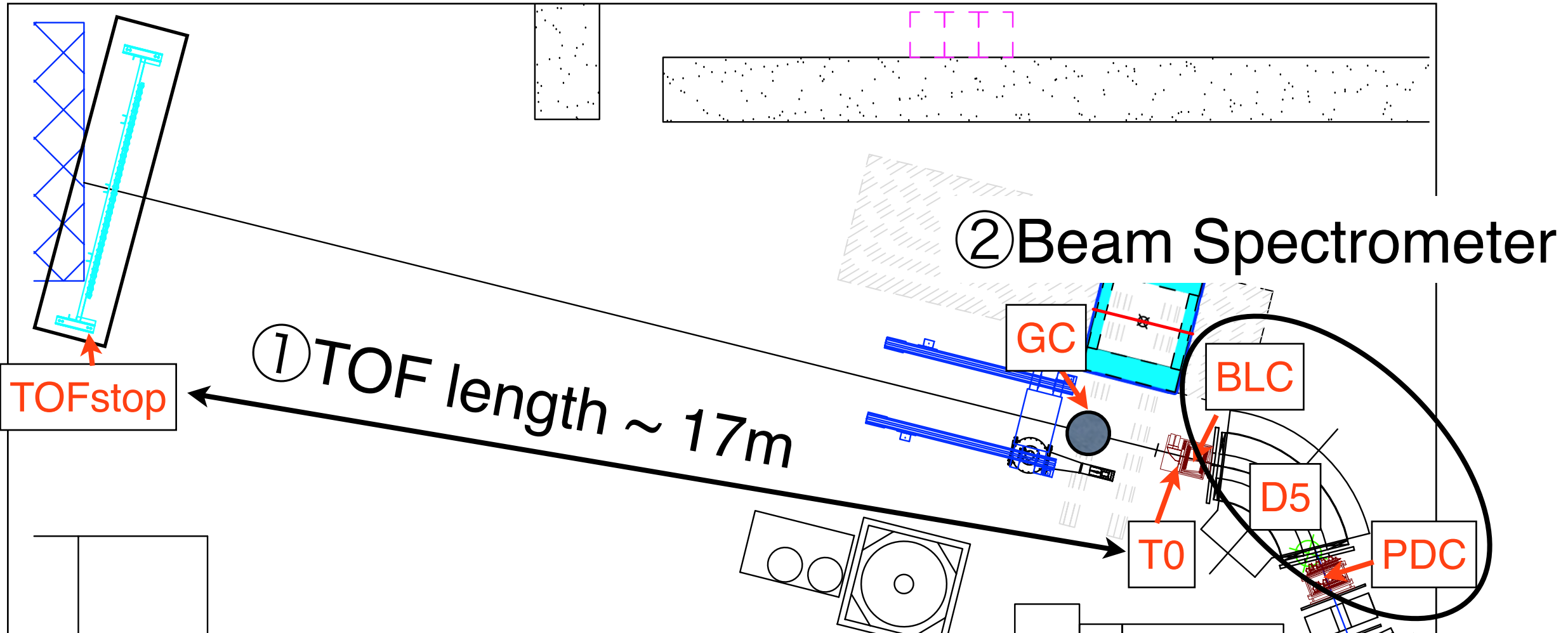
	x[cm]	$\theta$ [mrad]	y[cm]	$\Phi$ [mrad]	I[cm]	$\delta$ [%]
x'[cm]	0.19678	0.20554	0	0	0	-1.33079
$\theta'$ [mrad]	-4.6338	0.24164	0	0	0	-7.67738
y'[cm]	0	0	1.23585	0.32661	0	0
$\Phi'$ [mrad]	0	0	1.55747	1.22077	0	0
I'[cm]	0.76774	0.12565	0	0	1	-0.28727
$\delta'$ [%]	0	0	0	0	0	1

- Transportによる1次の転送行列
- $\delta = [(\theta' - \theta) + 3.75 (x' + x) - 0.11 (x' - x)] / 12.5$   
 $\rightarrow \Delta\delta \sim (\Delta\theta + 3.75\Delta x + 0.11\Delta x) / 12.5$   
~ 0.12 % @ 1GeV/c
- MWDCの角度分解能  $\Delta\theta \sim 0.7$  mrad
- 散乱による  $\Delta\theta \sim 0.7$  mrad,  $\Delta x \sim 0.2$  cm

# TOF測定との比較による性能評価

# 評価方法

as of Feb. 2012, before NC installation



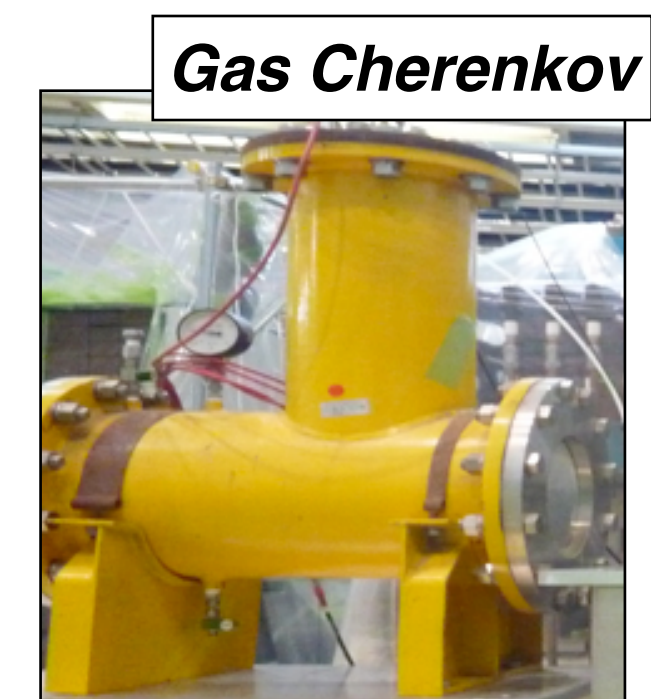
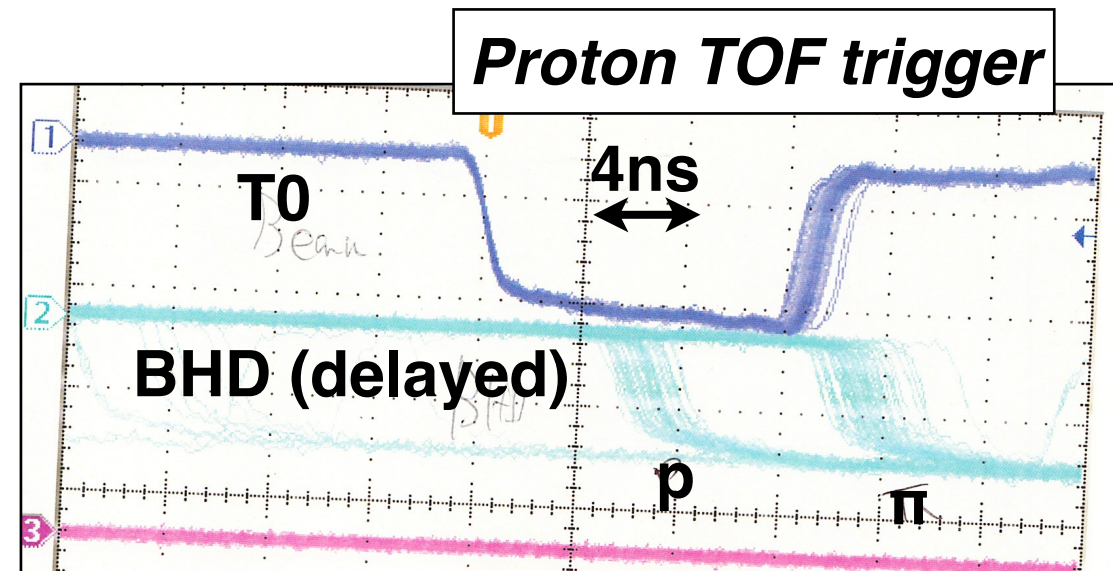
2つの手法の比較でビーム運動量の分解能、絶対値を評価

① 17m TOFから決めたビーム運動量

② ビームスペクトロメータでのトラッキング

# 評価方法

- 遅い反陽子を利用する
  - BHD-T0 online TOFによる p/pbar trigger
  - CMはproton設定
- TOF による運動量の絶対値決定のためT0-TOFstop間の物質量を最小に押さえた。(GCのみ)
- 電子( $\beta=1$ )によるタイムオフセット調整
  - GCを用いてelectron trigger を生成
- X方向のスリット全開(mom bite  $\pm 3\%$ )
- Run40 (2012年2月) にデータ取得

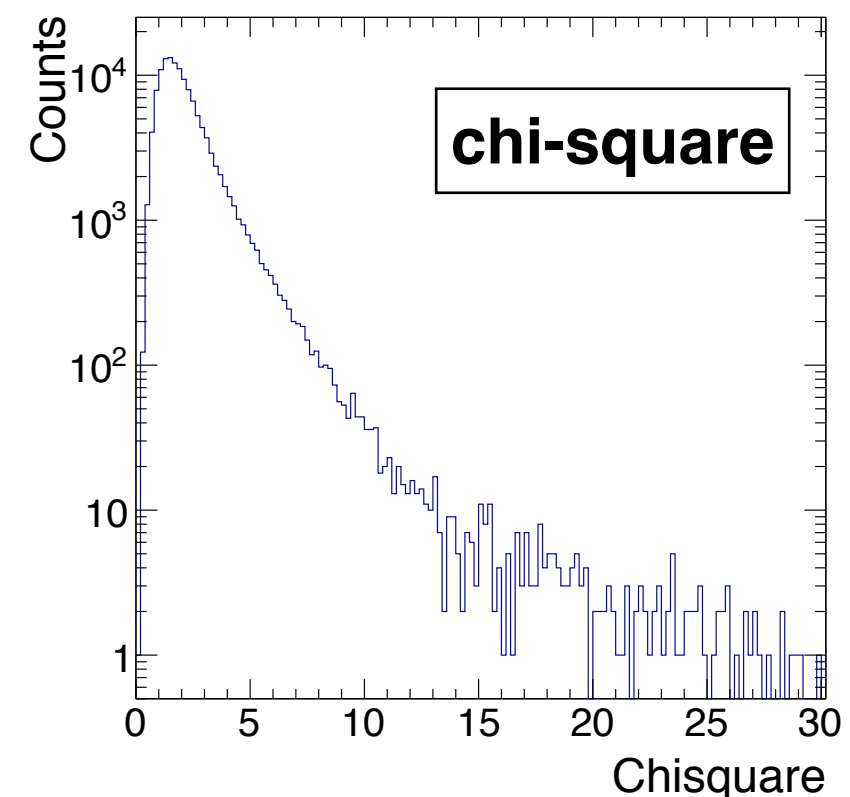
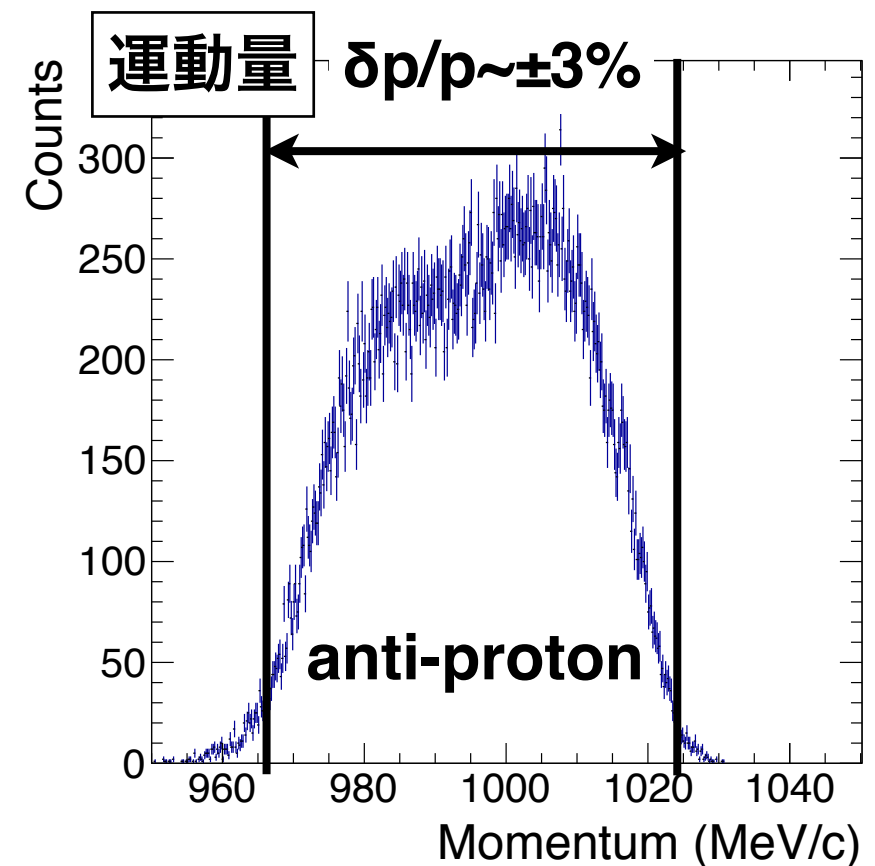
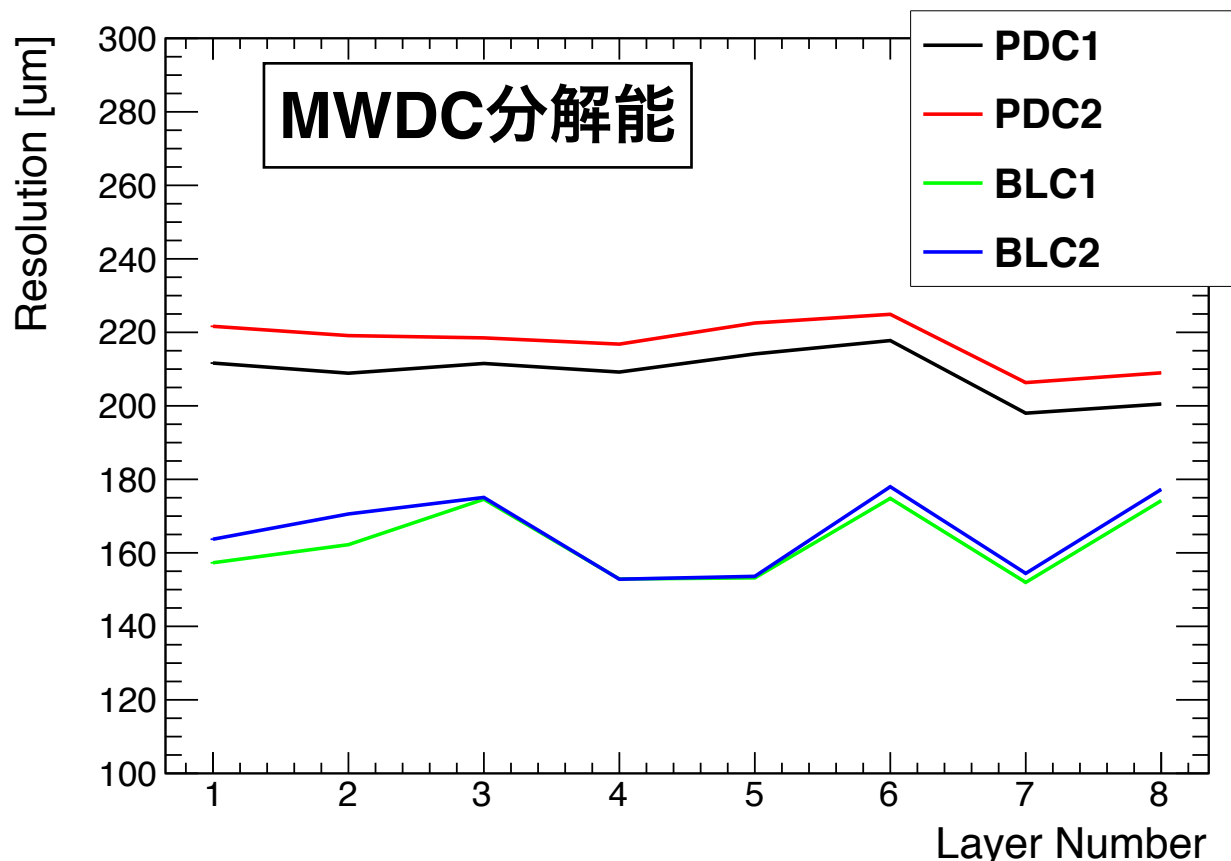


# ビームスペクトロメータ

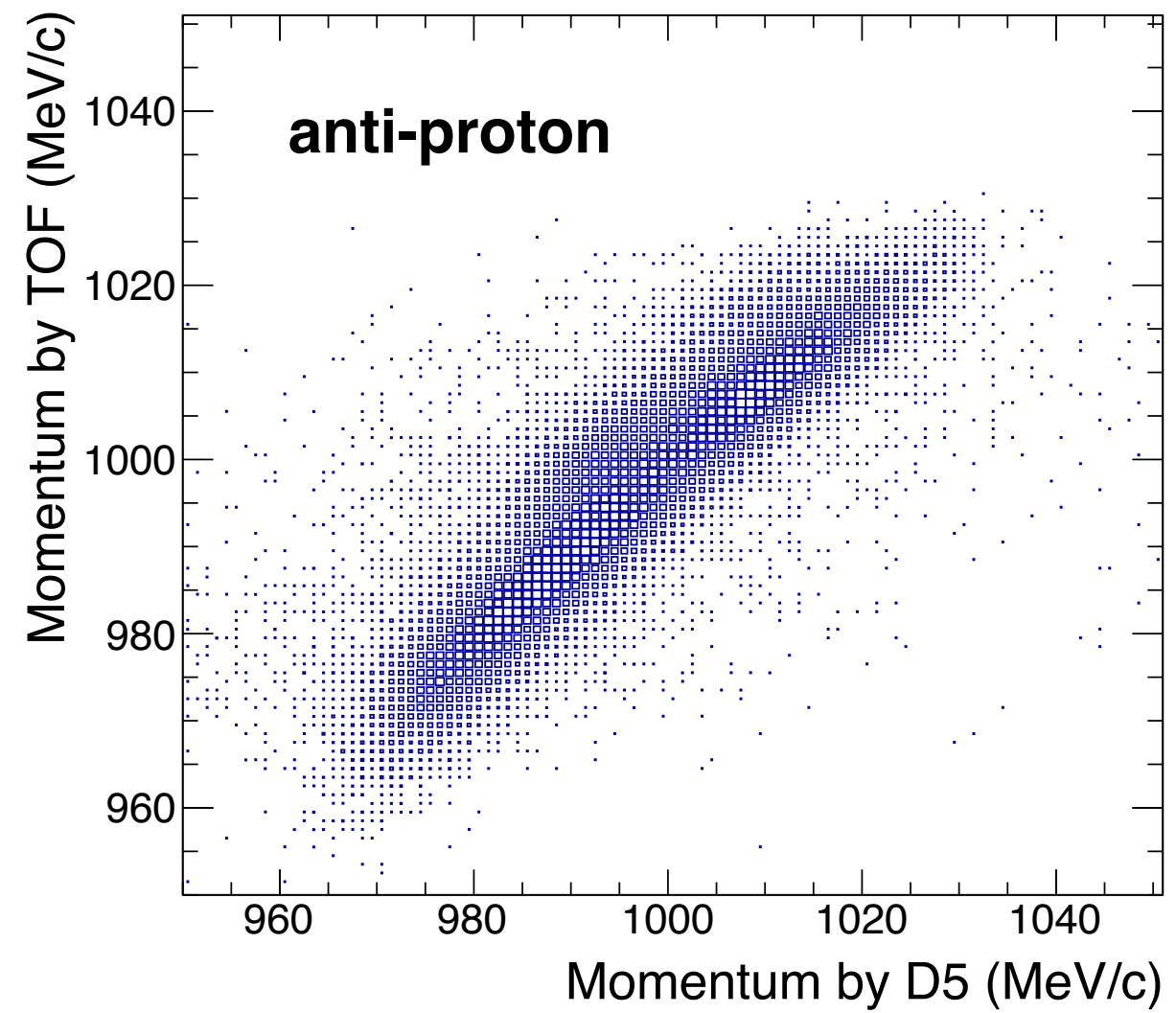
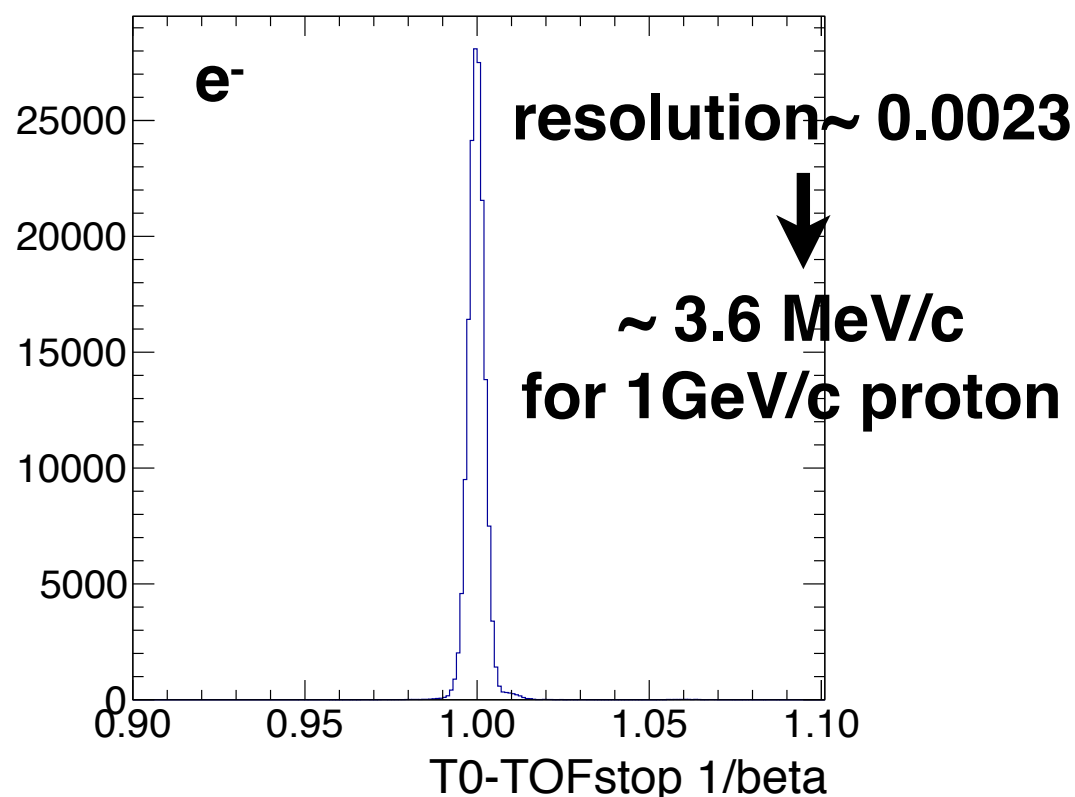
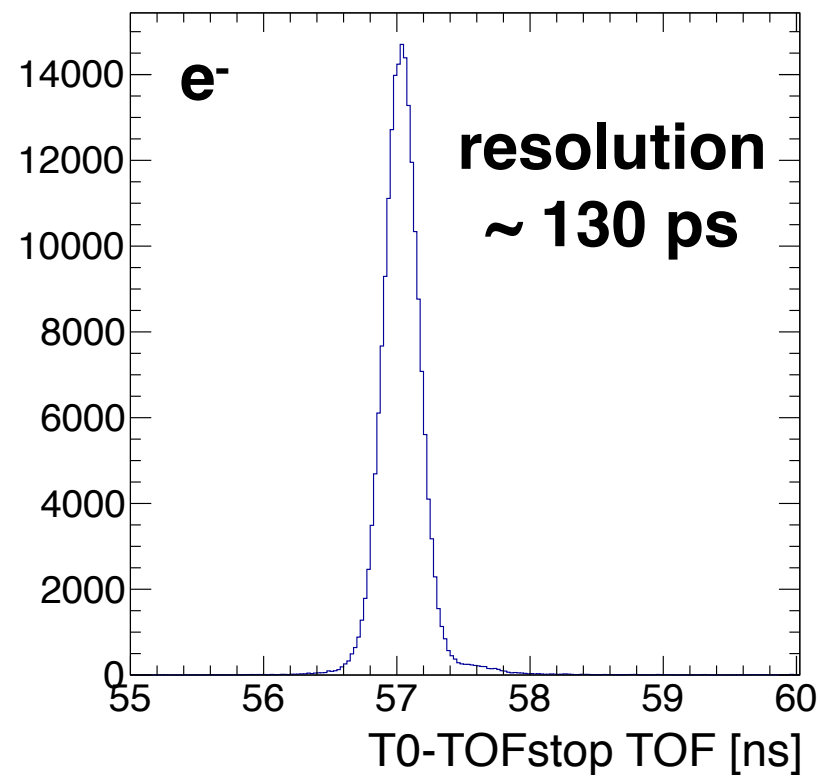
- **TMinuit Fitting**
  - 2次の転送行列でPDC-BLCを接続
  - parameter:  $x, \theta, y, \phi, \delta p$  (at PDC)

$$\chi^2 \equiv \frac{1}{n-5} \sum_{i=1}^n \left( \frac{x_i^{tracking} - x_i^{data}}{w_i} \right)^2$$

resolution



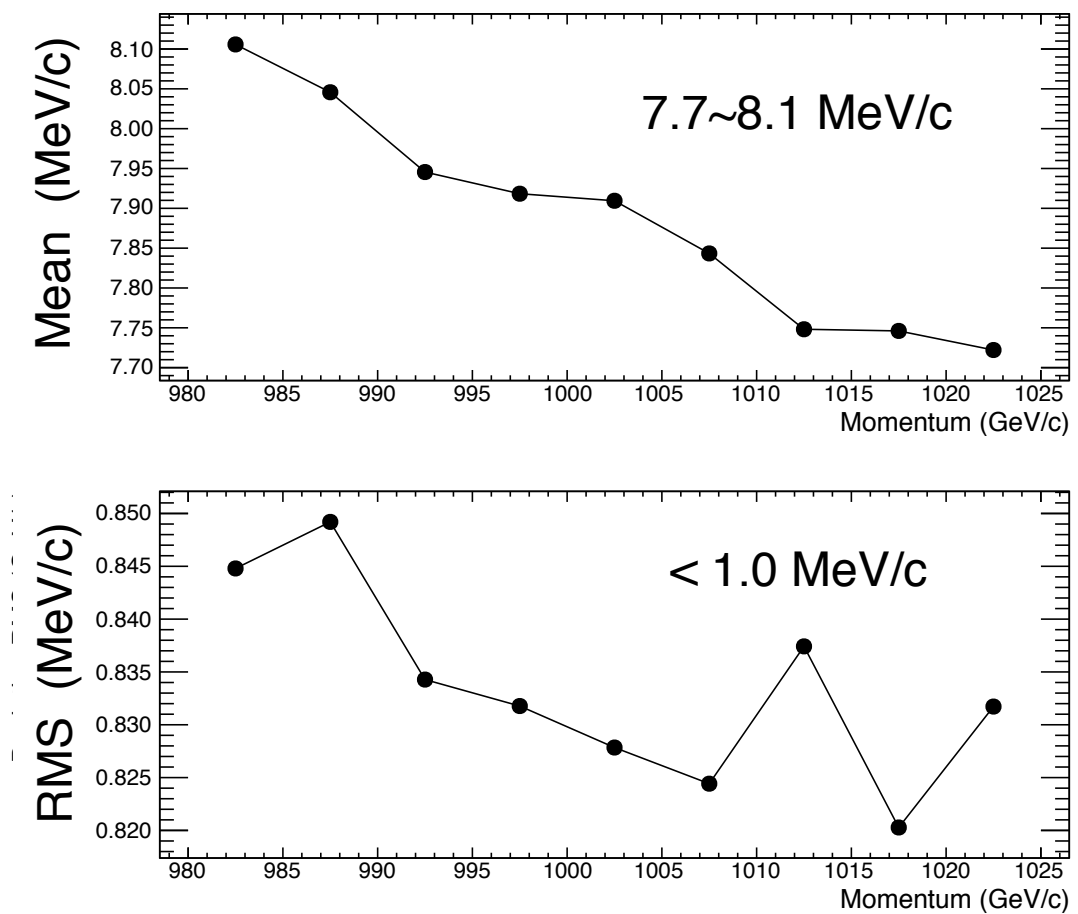
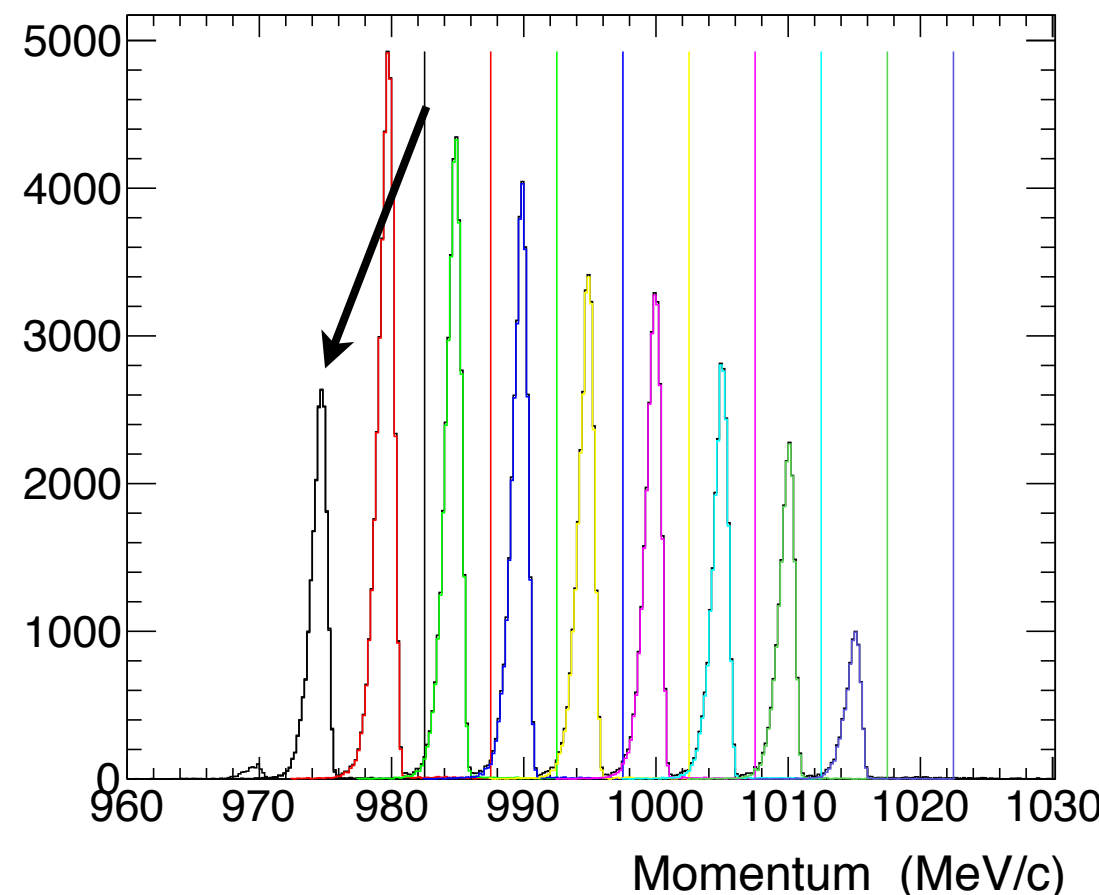
# TOF測定との比較



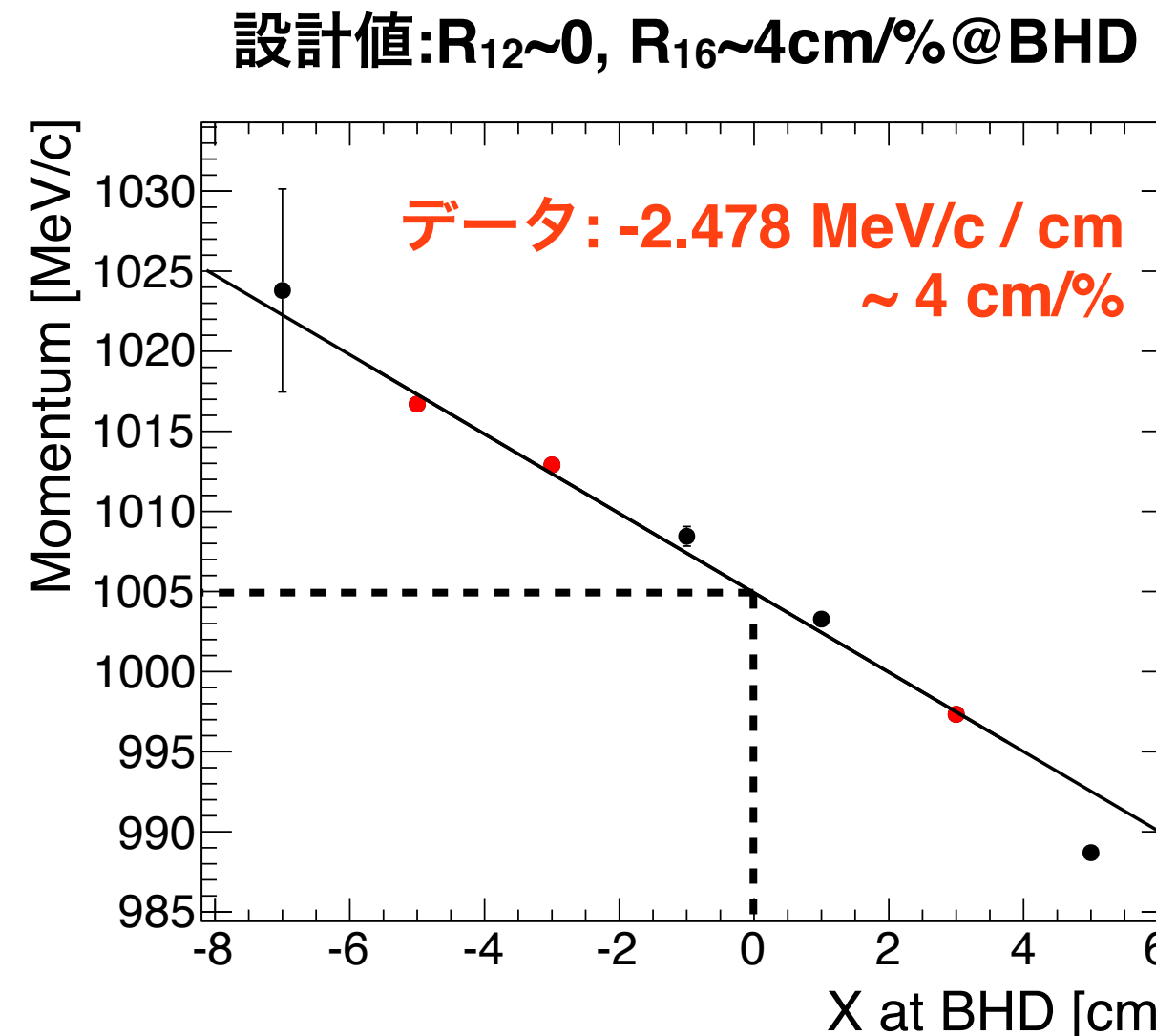
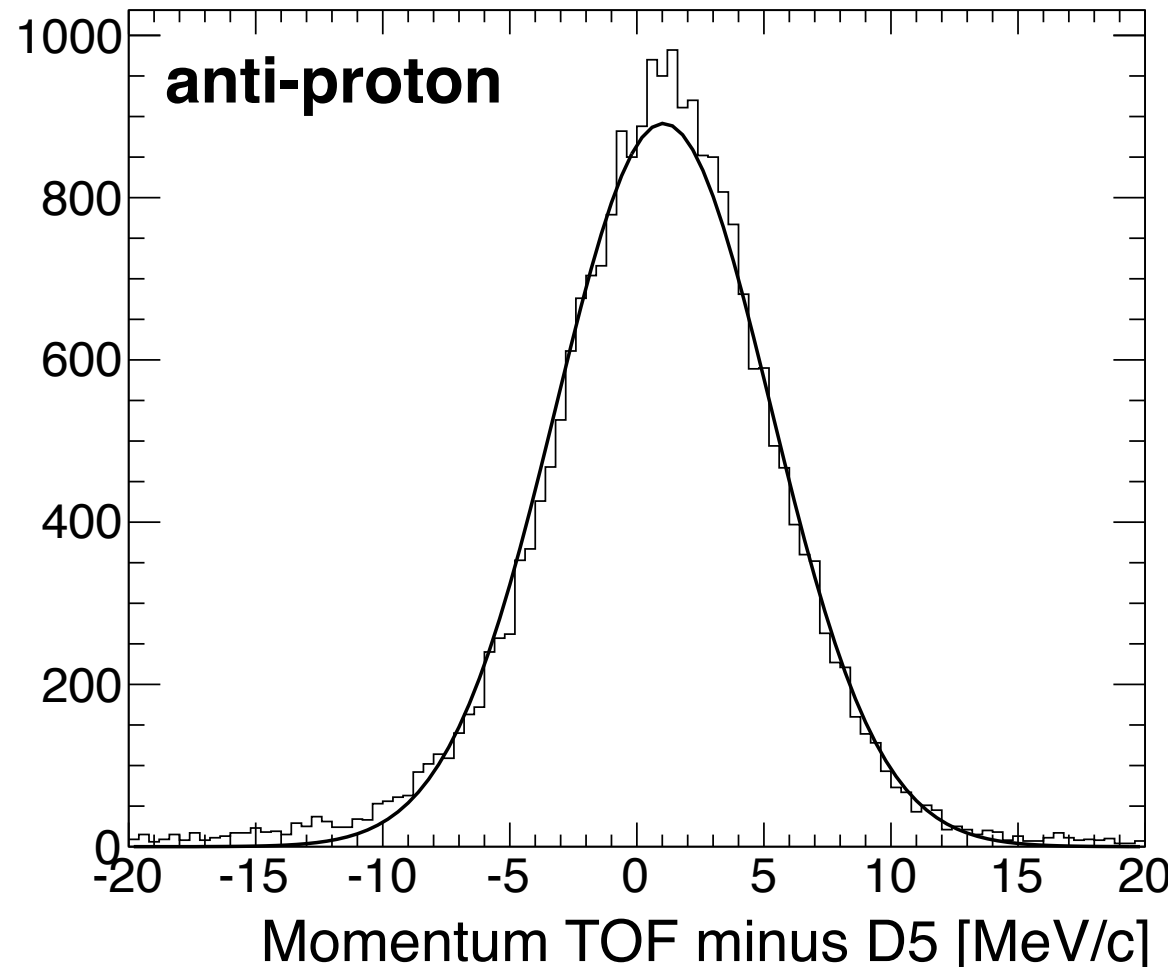
- 正しい相関が  
細く見えている！

# エネルギー損失の補正

- Geant4でエネルギー損失&多重散乱の影響を見積もる
  - $T_0(CH) \sim 1\text{g/cm}^2$ , 空気  $\sim 2\text{g/cm}^2$ , GCは考慮せず
  - 実際のビームプロファイルと仮定した運動量で粒子を発生
  - 実データと同様の解析を行いTOFから運動量を求めた。



# 分解能&中心運動量



運動量分解能  
 $2.2 \pm 0.2 \text{ MeV/c}$   
(TOF分解能  $\sim 3.6 \text{ MeV/c}$ を考慮)

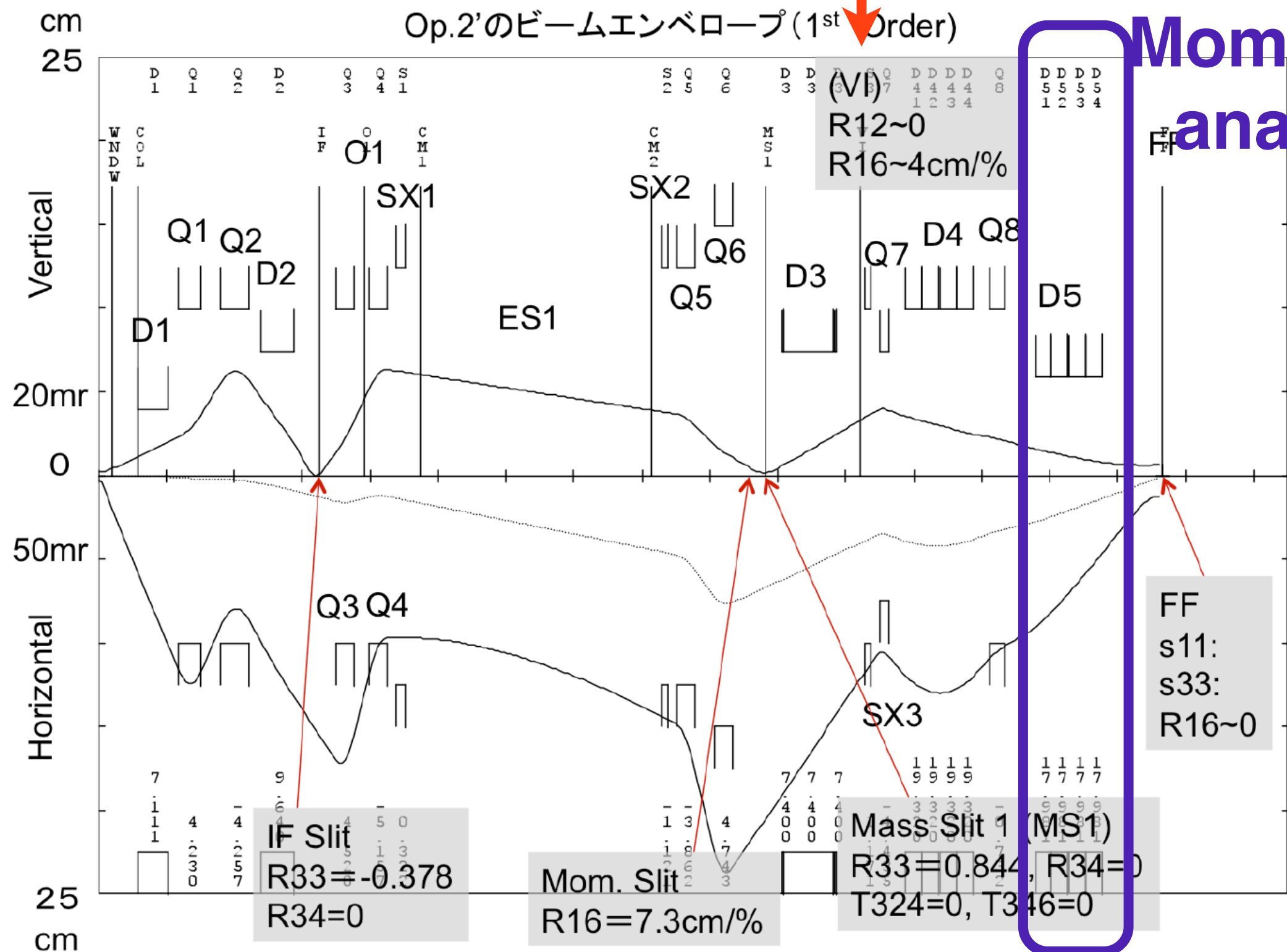
中心運動量  
 $1005 \pm 3 \text{ MeV/c}$   
要systematic study

# まとめ

- J-PARCハドロンホールK1.8BRビームラインでは  
0.9 ~ 1.0 GeV/c のK中間子ビームを用いた実験を行う。
- TOF測定との比較を行い、ビームラインスペクトロメータ  
が十分なビーム運動量分解能を持つことを確認した。  
 $0.22 \pm 0.02 \% @ 1.0 \text{ GeV}/c$
- ビーム中心運動量の絶対値を(暫定的に)決めた。  
 $1005 \pm 3 \text{ MeV}/c @ 1.0 \text{ GeV}/c$   
反応できちんと確認したい。  
stop-K調整のinputとするには 0.9 GeV/cにスケールする必要がある。

# K1.8BR beam optics

WSD?



# K1.1D1, K1.8D5

- K1.1D1の干渉→K1.8D1をKビームがFFで中心にくるよう調整 (Run#43)
- Run#40 ではK1.8D1固定でK1.8D5でKビームの中心をあわせていた。

